



# افزایش بازدهی جاسازی اطلاعات در روشهای پنهان‌نگاری پرظرفیت

مسعود عمومی، شادرخ سماوی

دانشگاه صنعتی اصفهان

omoomi@cc.iut.ac.ir, Samavi96@cc.iut.ac.ir

## چکیده

استفاده‌ی بیشتر از ظرفیت جاسازی در تصاویر، معمولاً با کاهش امنیت روشهای پنهان‌نگاری و موفقیت بیشتر حملات پنهان‌شکنی همراه است. بازدهی جاسازی که بصورت ظرفیت جاسازی به ازای هر تغییر در محیط پوشانه تعریف می‌شود، معیار خوبی برای ارزیابی همزمان ظرفیت و امنیت در روشهای پنهان‌نگاری است. در این مقاله با معرفی یکتابع دومتغیرهای باینری با ویژگی‌های خاص که از اطلاعات دو صفحه‌ی آخر بیت‌های تصویر پوشانه برای ایجاد تغییرات لازم در جهت تطبیق با داده‌های محروم‌انه استفاده می‌کند، روش جدیدی را برای جاسازی پرظرفیت اطلاعات در تصاویر سطح خاکستری و با بازدهی جاسازی بیشتر نسبت به روش‌هایی مثل LSB-M و LSB-F پیشنهاد می‌کنیم. نتایج حملات رایج پنهان‌شکنی بر روی این روش پیشنهادی، نشان دهنده‌ی درستی روابط تحلیلی و نظری در اثبات برتری این روش هستند.

## واژه‌های کلیدی

پنهان‌نگاری، بازدهی جاسازی، پنهان‌شکنی، حملات تابع مشخصه‌ی هیستوگرام

تصاویر و تأثیر کمتر آنها در کل تصویر نهایی، روشهایی که اطلاعات مورد نظر را بدون آنکه چشم تشخیص دهد، در محل بیت کم ارزش پیکسل‌ها مخفی می‌نمایند مورد توجه ویژه‌ای بوده و هستند.

روش جایگزینی بیت کم ارزش (LSB\_F)، پیام مخفی مورد نظر را با جایگزینی بیت‌های آن به جای بیت‌های کم ارزش پیکسل‌های تصویر پوشانه، در آن مخفی می‌نماید. در این روش در صورت تفاوت بیت کم ارزش هر پیکسل از تصویر پوشانه، با بیت متناظر با آن در پیام، پیکسل با مقدار زوج، یک واحد افزایش و پیکسل با مقدار فرد یک واحد کاهش می‌یابد. در مقابل، در روش تطبیق بیت کم ارزش (LSB\_M)، در صورتی که بیت کم ارزش یک پیکسل با بیت متناظرش در پیام متفاوت باشد، مقدار آن پیکسل به تصادف و با احتمال یکسان، یک واحد افزایش یا یک واحد کاهش می‌یابد. کار گیرنده‌ی برای استخراج پیام مخفی شده بسیار ساده است، او کافی است کم ارزش ترین ترین صفحه‌ی بیت‌های تصویر دریافتی را بخواند.

روش LSB\_F علیرغم سادگی و عدم تشخیص چشمی، به دلیل تأثیر بسیار آشکاری که بر روی هیستوگرام تصویر می‌گذارد، به راحتی قابل شکستن و تشخیص است [1]، ولی روش LSB\_M اثر فاحشی بر روی هیستوگرام تصویر نگذاشته و لذا در مقابل حملات پنهان‌شکنی مقاوم‌تر است. با این وجود حملاتی بر علیه این روش

## ۱- مقدمه

هدف اصلی پنهان‌نگاری، مخفی نمودن اطلاعات در یک محیط رسانه به گونه‌ای است که وجود آن نه از دید تغییرات ظاهری و نه با کمک تحلیل‌های آماری قابل تشخیص نباشد و دشمن نتواند با شناسی بهتر از یک حدس تصادفی، متوجه وجود اطلاعات مخفی شده و ارتباط پنهانی بین فرستنده و گیرنده شود. در مقابل، حملات پنهان‌شکنی در پی یافتن راهکارهایی برای افسای وجود اطلاعات پنهانی در محیط رسانه با استفاده از تحلیل‌های آماری مبتنی بر تغییرات صورت گرفته در آن محیط هستند.

محیط رسانه‌ای که پیام مخفی در آن جاسازی می‌گردد، پوشانه نامیده می‌شود. این رسانه می‌تواند تصویر، صدا، فیلم و حتی صفحه‌های HTML باشد. به پوشانه پس از جاسازی پیام توسط الگوریتم جاسازی، گنجانه می‌گوییم. به داده‌ای که قرار است در پوشانه جاسازی شود پیام مخفی، و به کلیدی که در صورت لزوم در هنگام جاسازی و استخراج پیام مخفی استفاده می‌گردد، کلید جاسازی می‌گوییم.

پنهان‌نگاری در تصاویر دیجیتال، با توجه به افزونگی‌های فراوان موجود در آنها، از جمله‌ی رایج ترین روشهای پنهان‌نگاری است. با توجه به ماهیت شبه‌تصادفی و نویزگونه‌ی بیت‌های کم ارزش پیکسل‌های

که در آن  $b_i$  تابع یک متغیره‌ی باینری با تعریف کلی زیر است و  $i+1$  امین بیت کم ارزش  $x$  را نتیجه می‌دهد.

$$b_i(x) = \left\lfloor \frac{x}{2^i} \right\rfloor \bmod 2, \quad i = 0, 1, 2, \dots \quad (3)$$

با توجه به تعریف فوق، تابع  $B$  دارای سه ویژگی مهم‌‌زیر است که اساس روش پیشنهادی این مقاله مبتنی بر آنها می‌باشد.

$$B(x, y \pm 1) \neq B(x, y), \quad \forall x, y \in Z \quad (4)$$

$$B(x-1, y) \neq B(x+1, y), \quad \forall x, y \in Z \quad (5)$$

$$B(x, y) = B(x-1, y) \text{ or } B(x+1, y), \quad \forall x, y \in Z \quad (6)$$

درستی خواص فوق را می‌توان با توجه به خواص جمع باینری و این که  $b_0$  بیت کم ارزش و  $b_1$  دومین بیت کم ارزش یک عدد را تولید می‌کند، به راحتی بررسی نمود. به عنوان مثال

$$B(110, 150) = b_1(110) \oplus b_0(150) = 1 \oplus 0 = 1$$

$$B(110, 149) = b_1(110) \oplus b_0(149) = 1 \oplus 1 = 0$$

$$B(110, 151) = b_1(110) \oplus b_0(151) = 1 \oplus 1 = 0$$

$$B(109, 150) = b_1(109) \oplus b_0(150) = 0 \oplus 0 = 0$$

$$B(111, 150) = b_1(111) \oplus b_0(150) = 1 \oplus 0 = 1$$

$$B(112, 150) = b_1(112) \oplus b_0(150) = 0 \oplus 0 = 0$$

در حالت کلی و با توجه به مثال فوق، می‌توان گفت که بیت خروجی تابع باینری  $B(x, y)$  طبق رابطه‌ی (4) با هر یک واحد تغییر در  $y$  حتماً تغییر می‌کند و طبق روابط (5) و (6) در صورت زوج بودن  $x$  با یک واحد کاهش آن و در صورت فرد بودن  $x$  با یک واحد افزایش آن تغییر خواهد کرد. به عبارت روش‌تر

$$B(x, y) = B(x + (-1)^x, y) \neq B(x - (-1)^x, y) \quad (7)$$

### ۳- روش پیشنهادی

پیکسل‌های تصاویر پوشانه و گنجانه را به ترتیب با  $x_i$  و  $y_i$  و بیت‌های پیام را با  $m_i$  نمایش می‌دهیم. در حالت کلی، روش پیشنهادی  $n$  بیت پیام را به گونه‌ای در  $n$  پیکسل تصویر پوشانه جاسازی می‌نماید که هر بیت پیام با اعمال تابع  $B$  بر روی دو پیکسل مجاور هم از تصویر گنجانه، قابل استخراج باشد. به عبارت دیگر:

$$m_1 = B(y_1, y_2), m_2 = B(y_2, y_3), \dots, m_n = B(y_n, y_1) \quad (8)$$

جاسازی  $n$  بیت پیام با تغییر حداقل یک واحد در مقادیر  $n$  پیکسل تصویر پوشانه و بر اساس جدولی با  $2^n$  سطر صورت می‌گیرد. برای سهولت، روند استخراج و جاسازی اطلاعات را برای مقادیر  $n = 2, 3$  با تفصیل بیشتری بررسی می‌کنیم.

#### ۱-۳ روش پیشنهادی برای $n=2$

در این حالت استخراج داده‌ها، بر اساس رابطه‌ی (9) انجام می‌شود

نیز ارائه شده، که موفق‌ترین آنها روش مبتنی بر تغییر مرکز جرم (COM) تابع مشخصه‌ی هیستوگرام (HCF) است که ابتدا توسط Harmsen معرفی شده [2] و سپس توسط Ker [3] بهبود یافته است.

روش‌های پنهان‌نگاری فوق‌الذکر می‌توانند با ظرفیت کامل یعنی با حداقل ظرفیت ممکن، یعنی (bit/pixel) 1 اطلاعات را در تصویر پوشانه مخفی نمایند و از آنجا که معمولاً دنباله‌ی پیام مخفی را می‌توان یک دنباله‌ی فشرده شده با بیت‌های متساوی-الاحتمال صفر و یک فرض نمود، اعمال تغییر در هر پیکسل با متوسط احتمال 1/2 لازم است، یعنی متوسط تغییرات لازم در تصویر پوشانه (change/pixel) 1/2 است.

بازدهی جاسازی که طبق رابطه‌ی (1) به صورت نسبت ظرفیت جاسازی (ER) به میانگین تعداد تغییرات لازم در هر پیکسل برای جاسازی داده با آن ظرفیت (CR) تعیین شده و با واحد bpc (bit/change) سنجیده می‌شود، معیار مناسبی برای ارزیابی امنیت یک روش پنهان‌نگاری است [4].

$$EE = \frac{ER}{CR} \quad (1)$$

با توجه به تعریف فوق، برای هر دو روش پنهان‌نگاری F و LSB\_F مقدار EE برابر با 2 bpc است.

روش پیشنهادی ما در این مقاله، با حفظ ظرفیت کامل یعنی 1 bpp مقدار بازدهی جاسازی را ابتدا به مقدار 8/3 bpc و سپس با تعیین روش، آن را به مقدار 3 bpc می‌رساند. بنابراین در مقایسه با روش M، قادر است با اعمال تغییرات کمتری در تصویر پوشانه، همان مقدار داده را مخفی نماید. این روش همچنین نسبت به روشی که در [5] پیشنهاد شده عملکرد امن‌تری دارد.

در بخش ۲ تابع دومتغیره‌ی باینری B را که هسته‌ی اصلی الگوریتم پیشنهادی است، معرفی کرده و خواص مهم آن را مرور می‌کنیم. در بخش ۳ مراحل جاسازی و استخراج پیام بر اساس خواص تابع B را بیان می‌کنیم. بخش ۴ به بررسی نتایج حاصل از اعمال حملات مؤثر و شناخته شده به تعداد زیادی از تصاویر جاسازی شده با روش پیشنهادی و مقایسه‌ی آنها با الگوریتم‌های موجود اختصاص یافته است. در بخش ۵ نیز نتیجه‌گیری و بحثی درباره‌ی امکان تعیین و بهبود بیشتر این روش ارائه خواهد شد.

#### ۲- معرفی تابع B

تابع دو متغیره‌ی باینری B بر روی دو عدد صحیح اعمال شده و یک عدد باینری تولید می‌کند. به عبارت دیگر B را نگاشتی از فضای  $Z^2$  به صورت زیر تعریف می‌کنیم

$$B(x, y) = b_1(x) \oplus b_0(y), \quad \forall x, y \in Z \quad (2)$$



سطر چهارم جدول عمل می‌شود، در نتیجه زوج پیکسل‌های  $(y_1, y_2) = (100, 102)$  از تصویر گنجانه حاصل می‌شود.

مقدار متوسط تغییرات در هر پیکسل را می‌توان با توجه به جدول مربوط به روند جاسازی اطلاعات و با فرض منطقی احتمال‌های وقوع یکسان  $1/4$  برای هر سطر به دلیل شرایط تصادفی، محاسبه نمود.

این مقدار که آن را با واحد  $cpp$  بیان می‌کنیم عبارتست از:

$$\left(\frac{1}{2}\right)[(1)(0)(1/4) + (3)(1)(1/4)] = \frac{3}{8} cpp$$

با توجه به رابطه (۱) و تعریف بازدهی جاسازی، می‌توان این پارامتر را برای روش پیشنهادی محاسبه نمود. از آن جا که ظرفیت جاسازی در این روش ۲ بیت در ۲ پیکسل، یعنی  $1bpp$  است، داریم:

$$E.E = \frac{1bpp}{\frac{3}{8} cpp} = \frac{8}{3} \approx 2.667 bpc$$

بنابر این روش پیشنهادی از نظر بازدهی جاسازی نسبت به روش LSB\_M که در آن بازدهی برابر با  $2bpc$  است بیش از ۳۳٪ بهبود نشان می‌دهد.

### ۲-۳ روش پیشنهادی برای $n=3$

در این حالت استخراج داده‌ها از روی پیکسل‌های تصویر گنجانه، بر اساس رابطه (۱۱) انجام می‌شود

$$m_1 = B(y_1, y_2), m_2 = B(y_2, y_3), m_3 = B(y_3, y_1) \quad (11)$$

$$d_1 = m_1 \oplus B(x_1, x_2) \quad (12)$$

$$d_2 = m_2 \oplus B(x_2, x_3)$$

$$d_3 = m_3 \oplus B(x_3, x_1)$$

جدول ۲: روند جاسازی اطلاعات (۳)

$d_1 d_2 d_3$	$y_1$	$y_2$	$y_3$
000	$x_1$	$x_2$	$x_3$
001	$x_1 + (-1)^{x_1}$	$x_2$	$x_3$
010	$x_1$	$x_2$	$x_3 + (-1)^{x_3}$
011	$x_1$	$x_2$	$x_3 - (-1)^{x_3}$
100	$x_1$	$x_2 + (-1)^{x_2}$	$x_3$
101	$x_1 - (-1)^{x_1}$	$x_2$	$x_3$
110	$x_1$	$x_2 - (-1)^{x_2}$	$x_3$
111	$x_1 - (-1)^{x_1}$	$x_2$	$x_3 + (-1)^{x_3}$

$$m_1 = B(y_1, y_2) \quad (9)$$

$$m_2 = B(y_2, y_1)$$

برای بیان چگونگی روند جاسازی داده‌ها، ابتدا بیت‌های تفاضلی  $d_1$  و  $d_2$  را بصورت زیر تعریف می‌کنیم

$$d_1 = m_1 \oplus B(x_1, x_2) \quad (10)$$

$$d_2 = m_2 \oplus B(x_2, x_1)$$

جدول (۱) تغییرات لازم در پیکسل‌های تصویر پوشانه را برای جاسازی  $m_1$  و  $m_2$ ، بر اساس مقادیر مختلف بیت‌های تفاضلی  $d_1$  و  $d_2$  نشان می‌دهد.

در هر یک از حالت‌های ممکن متناظر با سطرهای جدول فوق، کم شدن یا اضافه شدن یک واحد به سطح روشنایی هر پیکسل در صورت لزوم، در جهتی صورت می‌گیرد که مقادیر  $m_1$  و  $m_2$  به ترتیب با مقادیر  $B(y_2, y_1)$  و  $B(y_1, y_2)$  متنطبق شوند. بنابر این در سطر اول که هر دو بیت تفاضلی صفر هستند، نیازی به تغییر در پیکسل‌های پوشانه نیست و  $y_1$  و  $y_2$  به ترتیب همان  $x_1$  و  $x_2$  خواهد بود. در سطرهای دوم و سوم جدول که فقط یکی از بیت‌های تفاضلی برابر ۱ است، لازم است افزایش یا کاهش یک واحد در مقدار پیکسل مناسب صورت گیرد. مثلاً در سطر سوم که  $d_1 = 1$  و  $d_2 = 0$  است، طبق رابطه (۴) تغییر یک واحد در  $x_2$  باعث تطبیق (۱) با  $m_1$  می‌گردد، ولی از آن جا که  $d_2 = 0$  و به عبارت دیگر  $m_2 = B(x_2, x_1)$  است، طبق رابطه (۷) برای بدون تغییر ماندن  $B(y_2, y_1)$  نسبت به  $B(x_2, x_1)$ ،  $y_1$  برابر با  $x_1$  و  $y_2$  برابر با  $x_2 + (-1)^{x_2}$  قرار داده می‌شود. در سطر چهارم جدول که هر دو بیت تفاضلی  $d_1$  و  $d_2$  برابر ۱ هستند، کافی است بدون تغییر  $x_1$ ،  $x_2$  را در جهتی تغییر دهیم که هر دو مقدار (۷) و  $B(x_1, x_2)$  را برابر با  $B(x_2, x_1)$  قرار می‌دهیم. به عنوان مثال برای جاسازی دو بیت پیام  $(m_1, m_2) = (0, 1)$  در زوج  $(x_1, x_2) = (100, 101)$

جدول ۱: روند جاسازی اطلاعات (۳)

$d_1 d_2$	$y_1$	$y_2$
00	$x_1$	$x_2$
01	$x_1 + (-1)^{x_1}$	$x_2$
10	$x_1$	$x_2 + (-1)^{x_2}$
11	$x_1$	$x_2 - (-1)^{x_2}$

از تصویر پوشانه، بیت‌های تفاضلی  $d_1 d_2 = 11$  است و بر اساس

در حالت  $n=4$  جدول ۱۶ سطری (۳) چگونگی این عملیات را نشان می‌دهد.

مقدار متوسط تغییرات در هر پیکسل با توجه به جدول جاسازی و با فرض احتمال‌های وقوع یکسان  $1/16$  برای هر سطر جدول عبارت است از

$$\begin{aligned} & \left( \frac{1}{4}(1/16)(1/16)(1/16) + (7)(2)(1/16) + (8)(1)(1/16) + (1)(0)(1/16) \right] \\ & = \frac{11}{32} \text{ bpp} \end{aligned}$$

در نتیجه بازدهی جاسازی، عبارت است از

$$E.E = \frac{\frac{1}{11} \text{ bpp}}{\frac{32}{32}} = \frac{32}{11} \approx 2.909 \text{ bpc}$$

ملاحظه می‌شود که در این حالت نه تنها بهبودی در بازدهی جاسازی حاصل نشده است بلکه اندکی کاهش نیز دیده می‌شود.

با تعاریفی مشابه حالت‌های قبلی، می‌توان جدول عملکرد جاسازی را برای  $n=5$  شامل ۳۲ سطر متضایر با ۳۲ حالت مختلف برای بیت‌های تفاضلی  $d_1$  تا  $d_5$  تشکیل داد و تغییرات لازم در پیکسل‌ها را برای هر سطر مشخص نمود. با تشکیل این جدول دیده می‌شود که در آن، در ۱ سطر هیچ تغییری لازم نخواهد بود، در ۱۰ سطر یک تغییر، در ۲۰ سطر دو تغییر، و در ۱ سطر هم سه تغییر در پیکسل‌های پوشانه باستی صورت بگیرد. بدین ترتیب مقدار متوسط تغییرات در هر پیکسل برابر با  $\frac{53}{160} \text{ bpp}$  و بازدهی جاسازی برابر با

$$\frac{160}{53} \approx 3.019 \text{ bpc}$$

برای حالت  $n=6$  نیز با تشکیل جدول ۶۴ سطری جاسازی، می‌توان مشاهده نمود که ۱ سطر بدون تغییر لازم، ۱۲ سطر با یک تغییر، ۳۶ سطر با دو تغییر و ۱۵ سطر با سه تغییر در جدول وجود خواهد داشت. در نتیجه متوسط تغییرات به ازای هر پیکسل برابر با  $\frac{43}{128} \text{ bpp}$  و بازدهی جاسازی برابر با  $\frac{128}{43} \approx 2.977 \text{ bpc}$  است.

با توجه به عدم بهبود قابل توجه بازدهی جاسازی برای  $n$  های بزرگ‌تر از ۳ و در مقابل، افزایش مضاعف پیچیدگی عملیات جاسازی، به نظر می‌رسد مناسب‌ترین انتخاب همان  $n=3$  باشد.

#### ۴- نتایج پیاده‌سازی و تست‌های پنهان‌شکنی

در جدول (۴) چند نمونه از تصاویر استاندارد با ابعاد ۵۱۲ در ۵۱۲ [۶]، که بر روی آن‌ها الگوریتم‌های پنهان‌نگاری LSB\_M، LSB\_F و LSB\_F هاست، به همراه نتایج مربوطه دیده می‌شود. ملاحظه می‌گردد که از نظر میار PSNR که ملاکی مرسوم برای ارزیابی کیفیت تصاویر پس از جاسازی داده‌ی محترمانه در آن‌هاست و نیز مقدار بازدهی جاسازی، الگوریتم پیشنهادی ما در این مقاله به ازای  $n=3$  عملکرد مطلوب‌تری نسبت به سایر روش‌ها دارد.

جدول (۲) تغییرات لازم در پیکسل‌های تصویر پوشانه را برای جاسازی  $m_1$ ،  $m_2$  و  $m_3$ ، بر اساس مقادیر مختلف بیت‌های تفاضلی  $d_1$ ،  $d_2$  و  $d_3$  نشان می‌دهد.

عملکرد جدول جاسازی مشابه حالت  $n=2$  است و تغییرات در پیکسل مناسب و در جهت مناسب برای برقرار شدن تساوی‌های رابطه (۱۱) مربوط به روابط استخراج بیت‌های پیام از پیکسل‌های گنجانه صورت می‌گیرد. در سطر آخر جدول که ناگزیر به تغییر دادن دو پیکسل از بین سه پیکسل هستیم، می‌توانیم سه انتخاب متفاوت برای پیکسل‌های نامزد تغییر داشته باشیم، که در این جا  $x_1$  و  $x_3$  برای تغییر انتخاب شده‌اند. به عنوان مثال برای جاسازی  $(m_1, m_2, m_3) = (0, 1, 0)$  در سه تایی  $(x_1, x_2, x_3) = (100, 101, 102)$  از تصویر پوشانه، بیت‌های تفاضلی  $d_1 d_2 d_3 = 111$  است و بر اساس سطر هشتم جدول بایستی عمل شود، در نتیجه پیکسل‌های  $(y_1, y_2, y_3) = (99, 101, 103)$  از تصویر گنجانه حاصل می‌شود.

در این حالت نیز مقدار متوسط تغییرات در هر پیکسل را می‌توان با توجه به جدول جاسازی و با فرض احتمال‌های وقوع یکسان  $1/8$  برای هر سطر آن محاسبه نمود.

$$\left( \frac{1}{3}[(1)(0)(1/8) + (6)(1)(1/8) + (1)(2)(1/8)] \right) = \frac{1}{3} \text{ bpp}$$

ظرفیت جاسازی در این روش نیز  $1 \text{ bpp}$  یا ۳ بیت در ۳ پیکسل است. در نتیجه بازدهی جاسازی، طبق رابطه (۱) عبارت است از

$$E.E = \frac{\frac{1}{1} \text{ bpp}}{\frac{3}{3} \text{ bpp}} = 3 \text{ bpc}$$

بنابراین در روش پیشنهادی به ازای  $n=3$ ، با هر یک تغییر در تصویر پوشانه، می‌توان بطور متوسط سه بیت اطلاعات را جاسازی نمود. این به معنای ۵۰% بهبود عملکرد LSB\_M نسبت به ۱۲.۵% نسبت به همین روش در حالت  $n=2$  است.

پرسشی که با مشاهده‌ی روند افزایش بازدهی جاسازی از ۲ به  $n=3$  به ذهن می‌رسد، این است که آیا با افزایش بیشتر  $n$ ، این روند مثبت ادامه خواهد یافت؟ روشن است که افزایش  $n$  اگرچه بر پیچیدگی عملیات استخراج پیام مخفی‌شده نمی‌افزاید ولی به صورت نمایی، روند جاسازی اطلاعات را بیشتر و بیشتر نمود، پذیرش این هزینه‌ی محاسباتی منطقی به نظر می‌رسد. در ادامه، پاسخ این پرسش را خواهیم یافت.

#### ۳-۳ روش پیشنهادی برای $n$ های بزرگ تر

برای هر مقدار صحیح  $n$  رابطه‌ی کلی استخراج، همان (۸) است. بیت‌های تفاضلی را نیز می‌توان با رابطه‌ی کلی (۱۳) نمایش داد و

$$\begin{aligned} & \text{جدول عملیات جاسازی، جدولی با } 2^n \text{ سطر خواهد بود.} \\ & d_i = m_i \oplus B(x_i, x_{i+1}), 1 \leq i \leq n, x_{n+1} = x_1 \end{aligned} \quad (13)$$



جدول ۳: روند جاسازی اطلاعات (n=4)

$d_1 d_2 d_3 d_4$	$y_1$	$y_2$	$y_3$	$y_4$
0000	$x_1$	$x_2$	$x_3$	$x_4$
0001	$x_1 + (-1)^{x_1}$	$x_2$	$x_3$	$x_4$
0010	$x_1$	$x_2$	$x_3$	$x_4 + (-1)^{x_4}$
0011	$x_1$	$x_2$	$x_3$	$x_4 - (-1)^{x_4}$
0100	$x_1$	$x_2$	$x_3 + (-1)^{x_3}$	$x_4$
0101	$x_1 + (-1)^{x_1}$	$x_2$	$x_3 + (-1)^{x_3}$	$x_4$
0110	$x_1$	$x_2$	$x_3 - (-1)^{x_3}$	$x_4$
0111	$x_1 + (-1)^{x_1}$	$x_2$	$x_3 - (-1)^{x_3}$	$x_4$
1000	$x_1$	$x_2 + (-1)^{x_2}$	$x_3$	$x_4$
1001	$x_1 - (-1)^{x_1}$	$x_2$	$x_3$	$x_4$
1010	$x_1$	$x_2 + (-1)^{x_2}$	$x_3$	$x_4 + (-1)^{x_4}$
1011	$x_1$	$x_2 + (-1)^{x_2}$	$x_3$	$x_4 - (-1)^{x_4}$
1100	$x_1$	$x_2 - (-1)^{x_2}$	$x_3$	$x_4$
1101	$x_1 - (-1)^{x_1}$	$x_2$	$x_3 + (-1)^{x_3}$	$x_4$
1110	$x_1$	$x_2 - (-1)^{x_2}$	$x_3$	$x_4 + (-1)^{x_4}$
1111	$x_1 - (-1)^{x_1}$	$x_2$	$x_3 - (-1)^{x_3}$	$x_4$

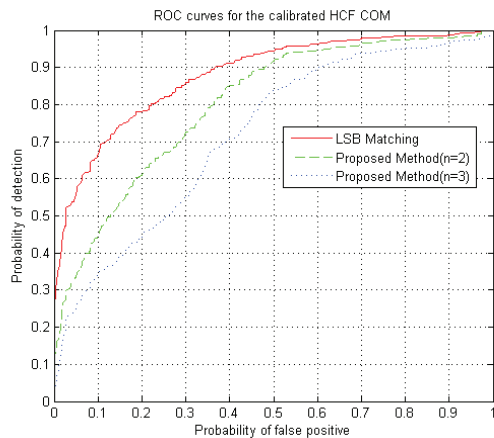
منحنی‌ها به خوبی نشان می‌دهند که احتمال تشخیص وجود پیام جاسازی‌شده در تصاویر با مقدار بازدهی جاسازی نسبت معکوس دارد و لذا روش پیشنهادی در حالت  $n=3$  عملکرد بهتری را نسبت به حالت  $n=2$  و به طریق اولی نسبت به روش LSB\_M از خود نشان می‌دهد.

#### ۵- نتیجه گیری

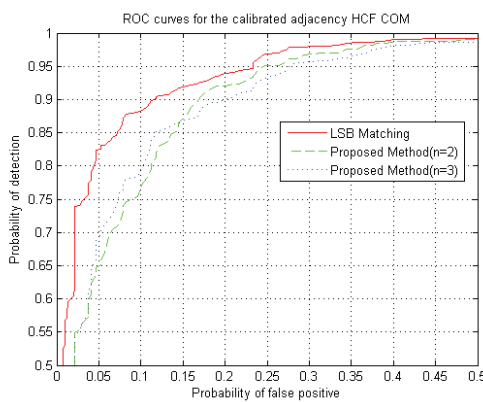
در این مقاله با توجه ویژه به اهمیت پارامتر بازدهی جاسازی در تکنیک‌های پنهان‌نگاری و با در نظر گرفتن سطح معقولی از پیچیدگی محاسباتی برای عملیات جاسازی و استخراج پیام، روش جدیدی برای پنهان‌نگاری در تصاویر سطح خاکستری ارائه شد. ویژگی این روش در استفاده از اطلاعات دو صفحه‌ی بیت آخر تصاویر پوشانه از طریق یک تابع دو متغیره‌ی باینری با خواص ویژه است، که سبب افزایش بازدهی جاسازی با حفظ ظرفیت کامل یعنی صد درصد می‌گردد.

نتایج حملات پنهان‌شکنی مبتنی بر مرکز جرم تابع مشخصه‌ی هیستوگرام، امنیت بیشتر این روش را در مقایسه با روش LSB\_M نشان دادند. همچنین نشان داده شد که تعمیم این روش برای  $n$

از سوی دیگر، برای ارزیابی میزان تأثیر حملات پنهان‌شکنی بر روی الگوریتم پیشنهادی، روش LSB\_M به همراه روش پیشنهادی، فقط برای دو حالت  $n=2,3$  (با توجه به پیچیدگی محاسباتی برای حالت  $n=4$  و عدم افزایش بازدهی جاسازی از نظر تئوری) برای حدود 2000 تصویر JPEG [7] با ابعاد مختلف، پس از تبدیل آن‌ها به تصاویر سطح خاکستری پیاده سازی شد. با محاسبه‌ی میانگین مقدار متوسط تغییرات در هر پیکسل و بازدهی جاسازی در هر حالت، درستی نتایج محاسبات نظری به طور کامل نشان داده شد. با توجه به این که رایج‌ترین حملات پنهان‌شکنی برای روش پیشنهادی، روش Ker مبتنی بر مرکز جرم تابع مشخصه‌ی هیستوگرام کالیبره شده (Calibrated HCF COM) و مرکز جرم تابع مشخصه‌ی هیستوگرام مجاورت کالیبره شده (Calibrated HCF COM) می‌باشد، این دو حمله بر روی 2000 adjacency HCF COM [3] می‌باشد، این دو حمله بر روی تصویر اصلی و جاسازی‌شده‌ی فوق اعمال گردیده و منحنی‌های ROC برای آن‌هارسم شد. شکل (۱) منحنی ROC را برای حمله‌ی CA\_HCF COM و شکل (۲) این منحنی را برای حمله‌ی COM با بزرگنمایی ناحیه‌ی قابل توجه آن نمایش می‌دهد. این



شکل ۱: منحنی ROC برای حمله HCF COM



شکل ۲: منحنی ROC برای حمله CA\_HCF COM

## مراجع

- [1] A.Westfeld and A.Pfitzman , “Attacks on Steganographic Systems”, *Proc. 3rd Int'l Information Hiding Workshop*, Springer-Verlag, Berlin Heidelberg New York, pp. 61-76, 1999.
- [2] J. Harmsen and W. Pearlman,” Higher-order statistical steganalysis of palette images,” in *PROC. SPIE Security Watermarking Multimedia Contents*, vol.5020, E.J.Delp III and P.W.Wong,Eds., 2003,pp.131-142
- [3] A.Ker,” Steganalysis of LSB Matching in Grayscale Images,” *IEEE Signal Processing Letters*, Vol.12, No.6, June 2005, pp.441-444
- [4] J.Fridrich, P. Lisonok and D. Soukal ” On Steganographic Embedding Efficiency, *Information Hiding. 8th International Workshop*, Alexandria, VA, LNCS, vol. 4437, pp. 282-296, 2008
- [5] J. Mielikainen,” LSB Matching Revisited,” *IEEE Signal Processing Letters*, Vol.13,No.5, May 2006, pp.285-287
- [6] Available:<http://decsai.ugr.es/cvg/CG/base.htm>
- [7] <http://photogallery.nrcs.usda.gov> ,United State Department of Agriculture

های بزرگ‌تر افزایشی را در بازدهی جاسازی به دنبال ندارد و فقط محاسبات را پیچیده‌تر می‌سازد.

جدول ۴: مقایسه نتایج اجرای الگوریتم با روش‌های قبلی

Standard Image	Algorithm	PSNR (dB)	Embedding efficiency (bpcc)	# of Altered pixels
Barbara	<b>LSB_F</b>	51.13789	1.998521	131169
	<b>LSB_M</b>	51.14568	2.002108	130934
	<b>n=2</b>	52.39447	2.66911	98214
	<b>n=3</b>	<b>52.89836</b>	<b>2.997473</b>	<b>87455</b>
	<b>n=4</b>	52.78025	2.917054	89866
Pepper	<b>LSB_F</b>	51.14008	1.999527	131103
	<b>LSB_M</b>	51.14628	2.002383	130916
	<b>n=2</b>	52.38303	2.66209	98473
	<b>n=3</b>	<b>52.90696</b>	<b>3.003414</b>	<b>87282</b>
	<b>n=4</b>	52.765	2.906833	90182
Camera	<b>LSB_F</b>	51.12737	1.993688	131487
	<b>LSB_M</b>	51.06461	1.981751	132279
	<b>n=2</b>	52.33243	2.646609	99049
	<b>n=3</b>	<b>52.78755</b>	<b>2.945207</b>	<b>89007</b>
	<b>n=4</b>	52.6664	2.86249	91579
Lake	<b>LSB_F</b>	51.12804	1.993991	131467
	<b>LSB_M</b>	51.1288	1.995251	131384
	<b>n=2</b>	52.38356	2.66328	98429
	<b>n=3</b>	<b>52.90258</b>	<b>3.001695</b>	<b>87332</b>
	<b>n=4</b>	52.78431	2.920629	89756
Baboon	<b>LSB_F</b>	51.14134	2.000107	131065
	<b>LSB_M</b>	51.13928	1.999161	131127
	<b>n=2</b>	52.39372	2.668648	98231
	<b>n=3</b>	<b>52.91358</b>	<b>3.007998</b>	<b>87149</b>
	<b>n=4</b>	52.76361	2.905898	90211
Lena	<b>LSB_F</b>	51.15561	2.00669	130635
	<b>LSB_M</b>	51.13451	1.997272	131251
	<b>n=2</b>	52.3897	2.666395	98314
	<b>n=3</b>	<b>52.91109</b>	<b>3.006756</b>	<b>87185</b>
	<b>n=4</b>	52.75894	2.903163	90296